

# **Blocs Fonctionnels pour les Mobiles**

**Tan Phu VUONG, Professeur de Grenoble INP**

***[tan-phu.vuong@minatec.grenoble-inp.fr](mailto:tan-phu.vuong@minatec.grenoble-inp.fr)***

# Emetteur Basic

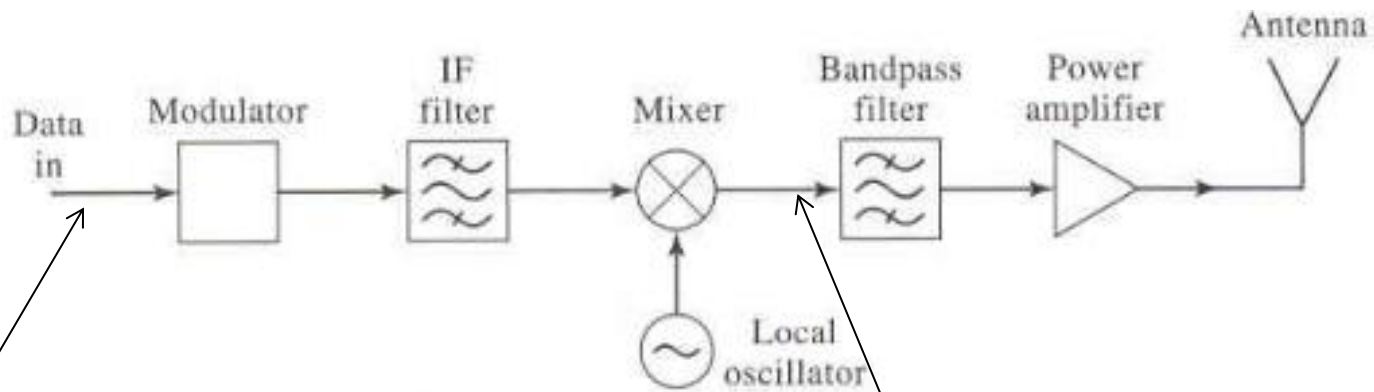
Données

Modulation

Upconversion

Amplification

Emission



Bande de base  
10-100 MHz

Fréquence de  
transmission  
800 - 1900 MHz

# Récepteur Basic

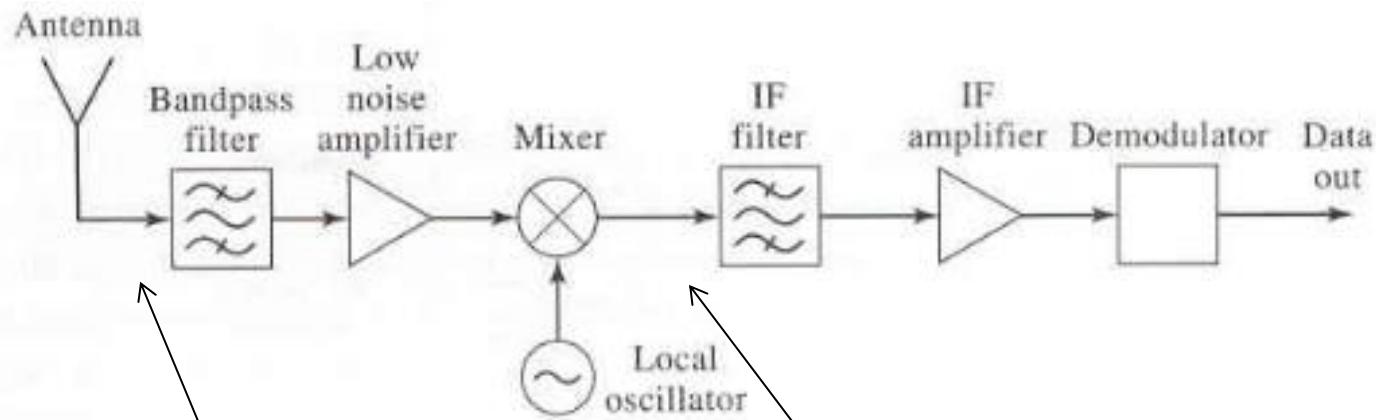
Données

Réception

Amplification

Downconversion

Démodulation

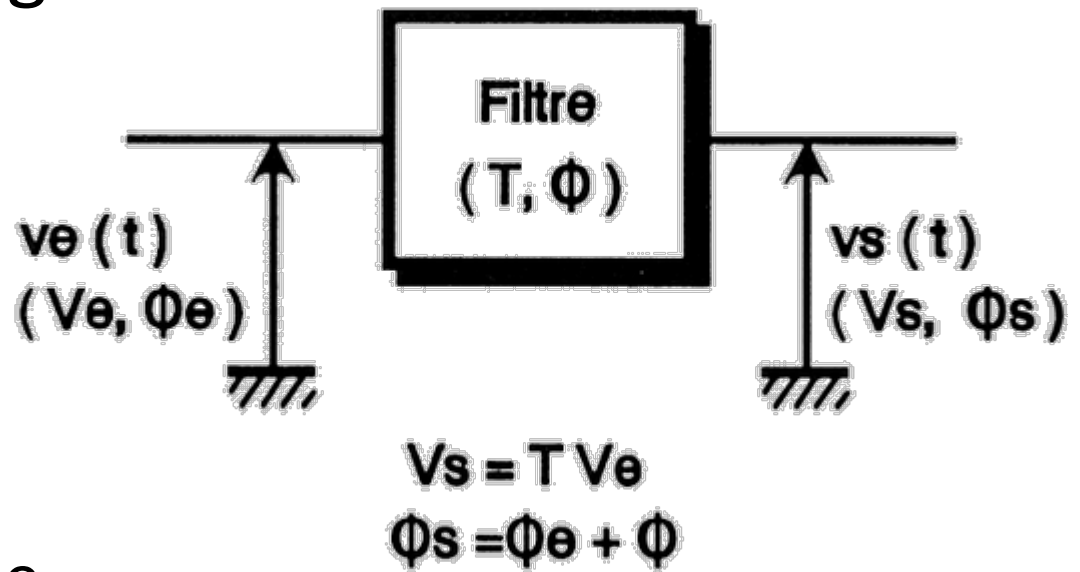


Fréquence de  
réception  
800 - 1900 MHz

Bande de base  
10-100 MHz

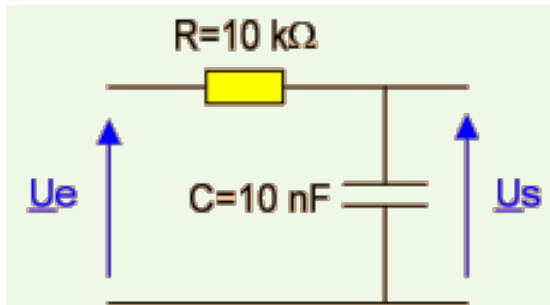
# Filtres analogiques

- Atténuation du signal!!
  - Amplitude
  - Phase
- Type de filtres:
  - filtre passe-haut
  - filtre passe-bas
  - filtre passe-bande
  - filtre réjecteur de bande
  - Filtre passe-tout
- Filtres actives ou passives



# Filtres analogiques

- Filtres passe-bas
  - passif



$$\underline{U}_S = \frac{\underline{Z}_C}{\underline{Z}_R + \underline{Z}_C} \underline{U}_E = \frac{\frac{1}{jC\omega}}{R + \frac{1}{jC\omega}} \underline{U}_E = \frac{1}{1 + jRC\omega} \underline{U}_E$$

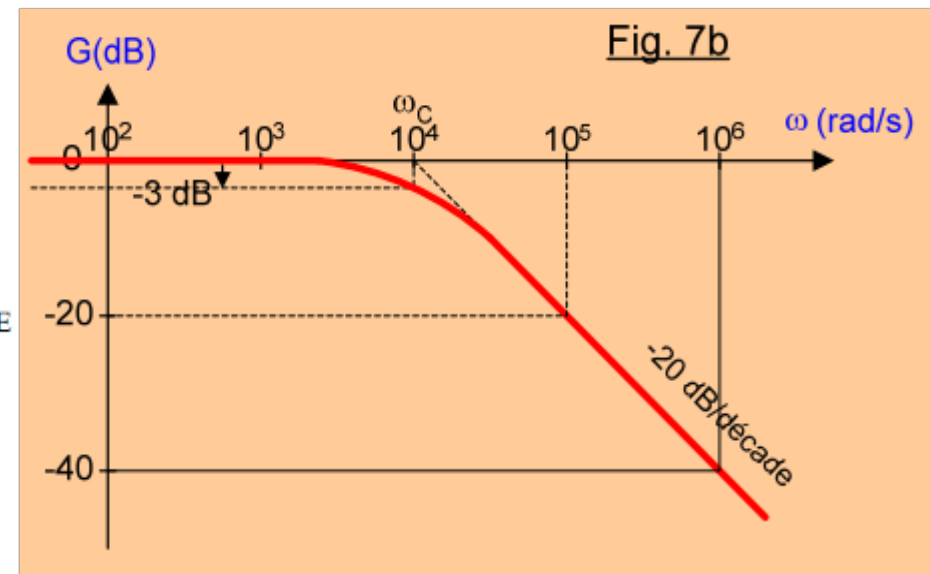
$$\underline{T}(\omega) = \frac{\underline{U}_S}{\underline{U}_E} = \frac{1}{1 + jRC\omega}$$

Fonction de transfert normalisée

$$T(\omega) = \left| \frac{1}{1 + jRC\omega} \right| = \frac{|1|}{|1 + jRC\omega|} = \frac{1}{\sqrt{1 + (RC\omega)^2}}$$

- Diagramme de Bode du gain

$$G(\omega) = 20 \cdot \log_{10} T(\omega) = -20 \cdot \log_{10} \left( \sqrt{1 + (RC\omega)^2} \right)$$



$$f_c = \frac{1}{2\pi RC}$$

Fréquence de coupure

# Filtres analogiques

- Diagramme de Bode

$$P_{dB} = 10 \text{Log}_{10}(P) \quad H_{dB} = 20 \text{Log}_{10}(H) = 20 \text{Log}_{10}\left(\left|\frac{\overline{V_s}}{\overline{V_e}}\right|\right)$$

$$H_{dB} = 20 \text{Log}(H) = 20 \text{Log}\left(\frac{1}{\sqrt{1+x^2}}\right) = -20 \text{Log}\left(\sqrt{1+x^2}\right)$$

$$\lim_{x \gg 1} H_{dB} = -20 \text{Log}\left(\sqrt{x^2}\right) = -20 \text{Log}(x)$$

$$\lim_{x \ll 1} H_{dB} = -20 \text{Log}\left(\sqrt{1}\right)$$

$$\lim_{x=1} H_{dB} = -20 \log \sqrt{2} = -3 \text{dB}$$

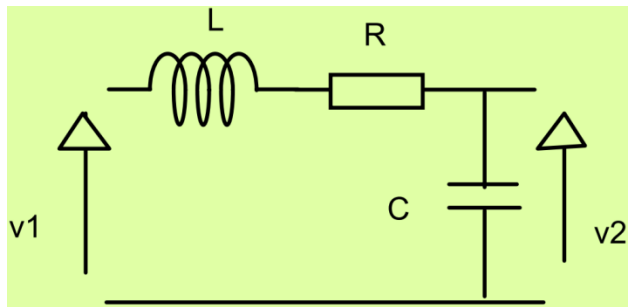
**Bande passante BP**

$$\frac{H_{\max}}{\sqrt{2}} \leq H \leq H_{\max}$$

**Fc=fréquence de coupure à 3dB**

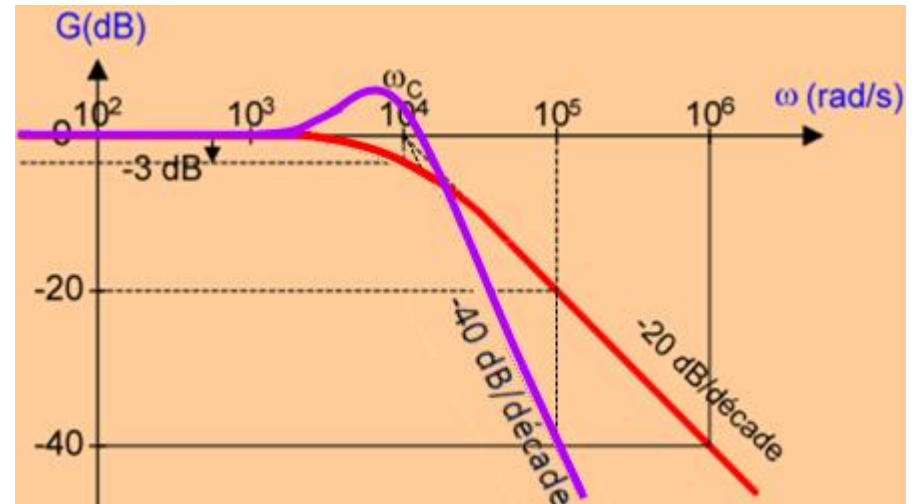
# Filtres analogiques

- Filtres passe-bas 2<sup>o</sup> ordre
  - passif



$$\frac{v_2}{v_1} = \frac{\frac{1}{Cp}}{Lp + R + \frac{1}{Cp}} = \frac{1}{LCp^2 + RCp + 1}$$

$$H(\omega) = \frac{1}{1 - LC\omega^2 + jRC\omega}$$



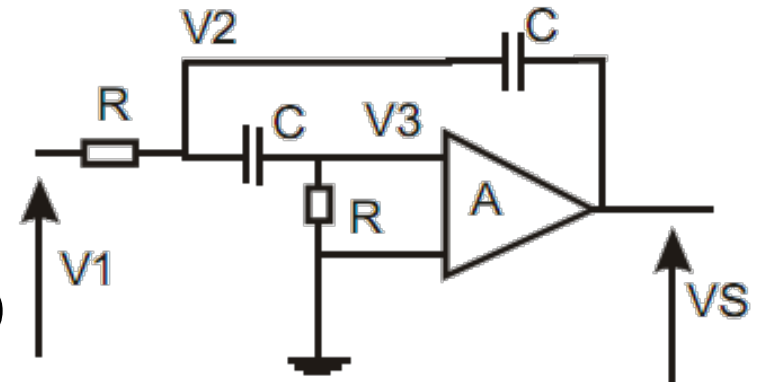
$$f_c = \frac{1}{2\pi\sqrt{LC}}$$

Fréquence de coupure

Fonction de transfert normalisée

# Filtres analogiques

- Filtres passe-bas 2<sup>o</sup> ordre
  - actif



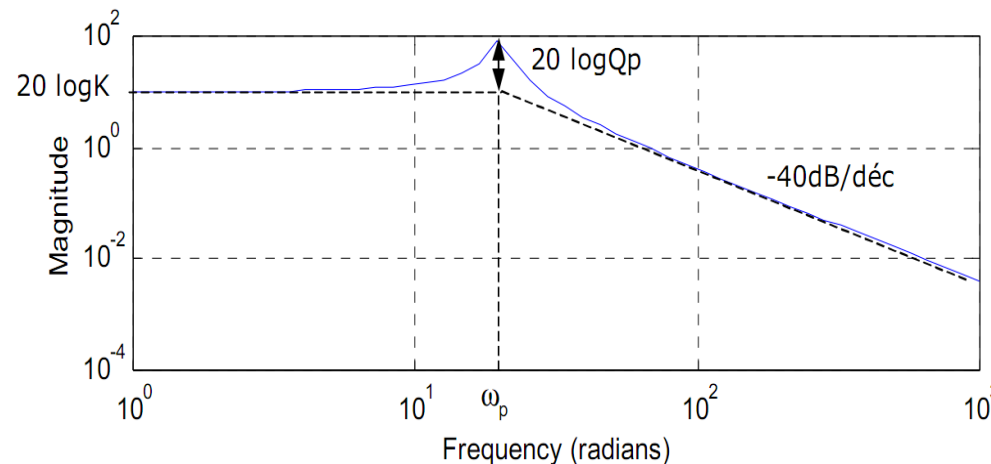
$$Q = \frac{\sqrt{1+A}}{3}$$

$$\frac{v_1 - v_2}{R} + (v_3 - v_2)Cp + (v_s - v_2)Cp = 0$$

$$(v_2 - v_3)Cp - \frac{v_3}{R} = 0$$

$$v_s = -Av_3 \quad Y=1/R$$

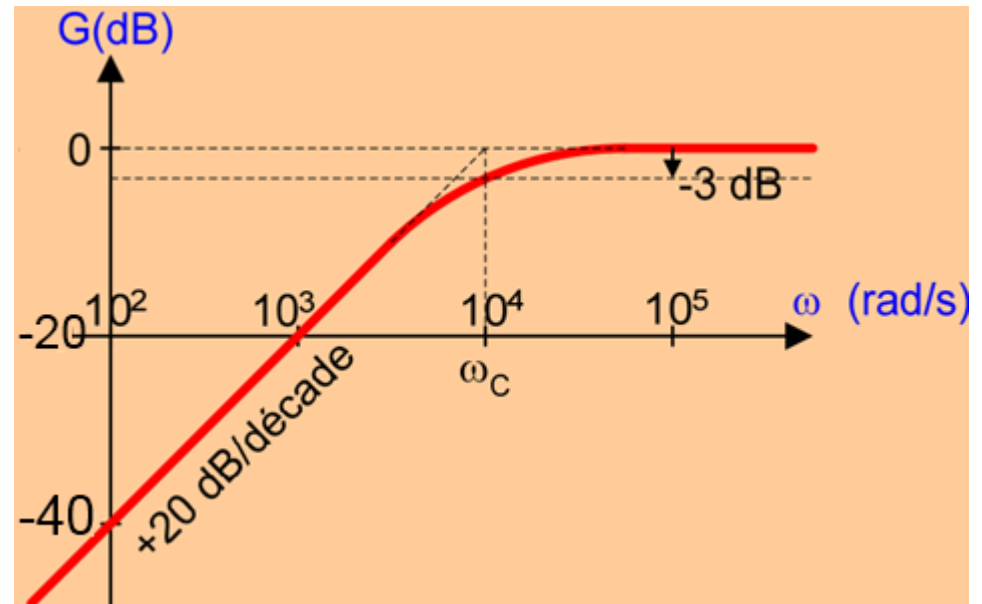
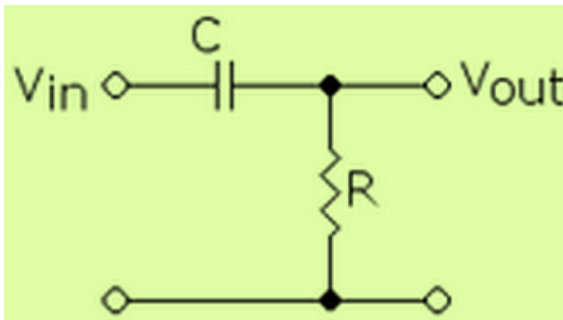
$$\frac{v_s}{v_1} = \frac{-AYCp}{Y^3 + 3Y Cp + (1+A)C^2 p^2}$$





# Filtres analogiques

- Filtres passe-haut
  - passif



$$H(j\omega) = \frac{v_o}{v_i} = \frac{jRC\omega}{1 + jRC\omega}$$

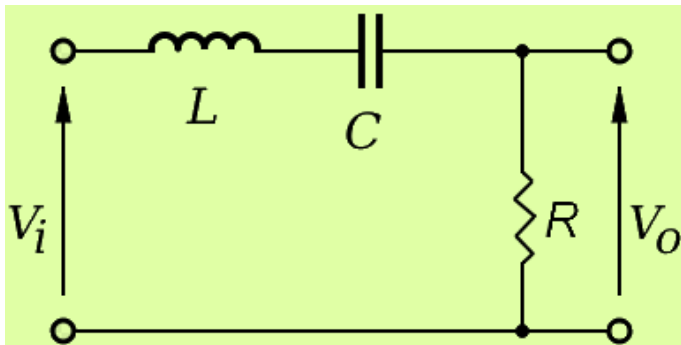
Fonction de transfert normalisée

$$f_c = \frac{1}{2\pi RC}$$

Fréquence de coupure

# Filtres analogiques

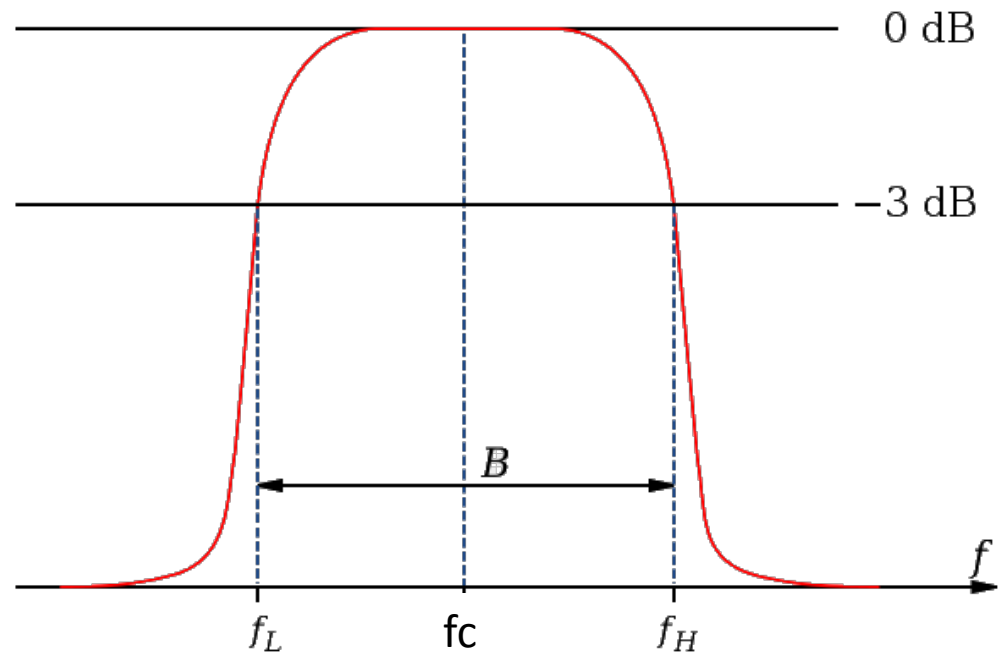
- Filtres passe-bande
  - passif



$$Q = \frac{1}{R} \sqrt{\frac{L}{C}}$$

$$h(j\omega) = \frac{1}{1 + jQ \left( \frac{\omega}{\omega_0} - \frac{\omega_0}{\omega} \right)}$$

Fonction de transfert normalisée



$$f_c = \frac{1}{2\pi\sqrt{LC}}$$

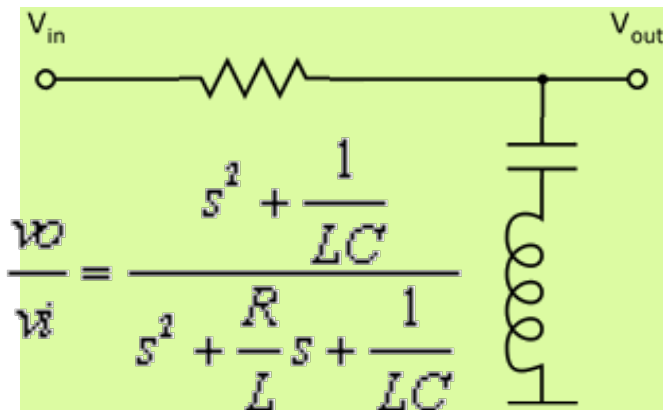
Fréquence de coupure

$$BW = \frac{f_{cH} - f_{cL}}{f_c}$$

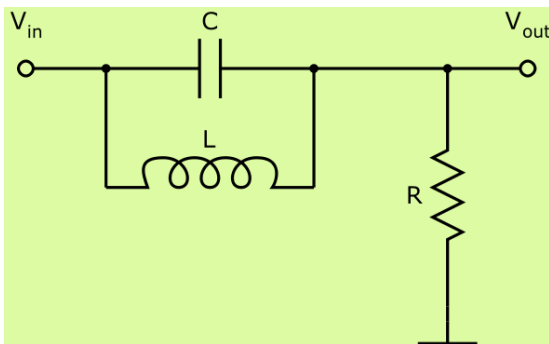
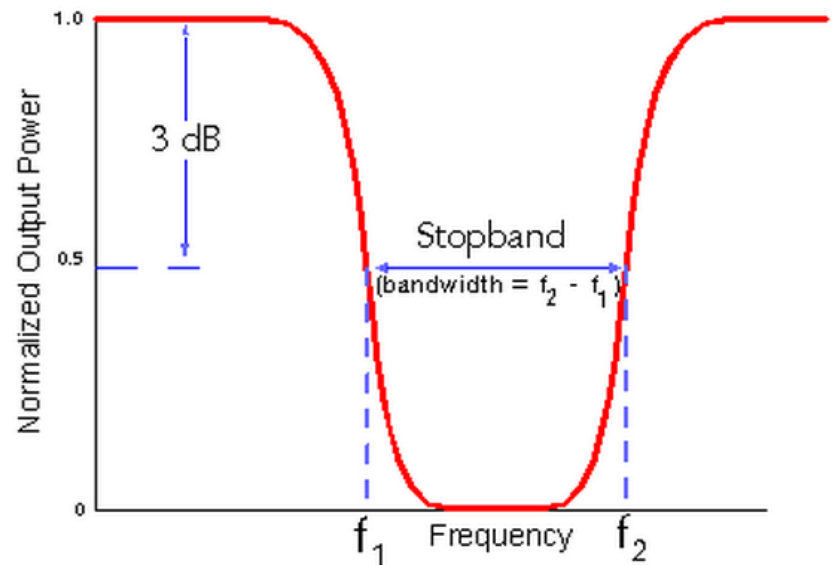
Bande passante

# Filtres analogiques

- Filtres coupe-bande
  - passif



Fonction de transfert normalisée



$$f_c = \frac{1}{2\pi\sqrt{LC}}$$

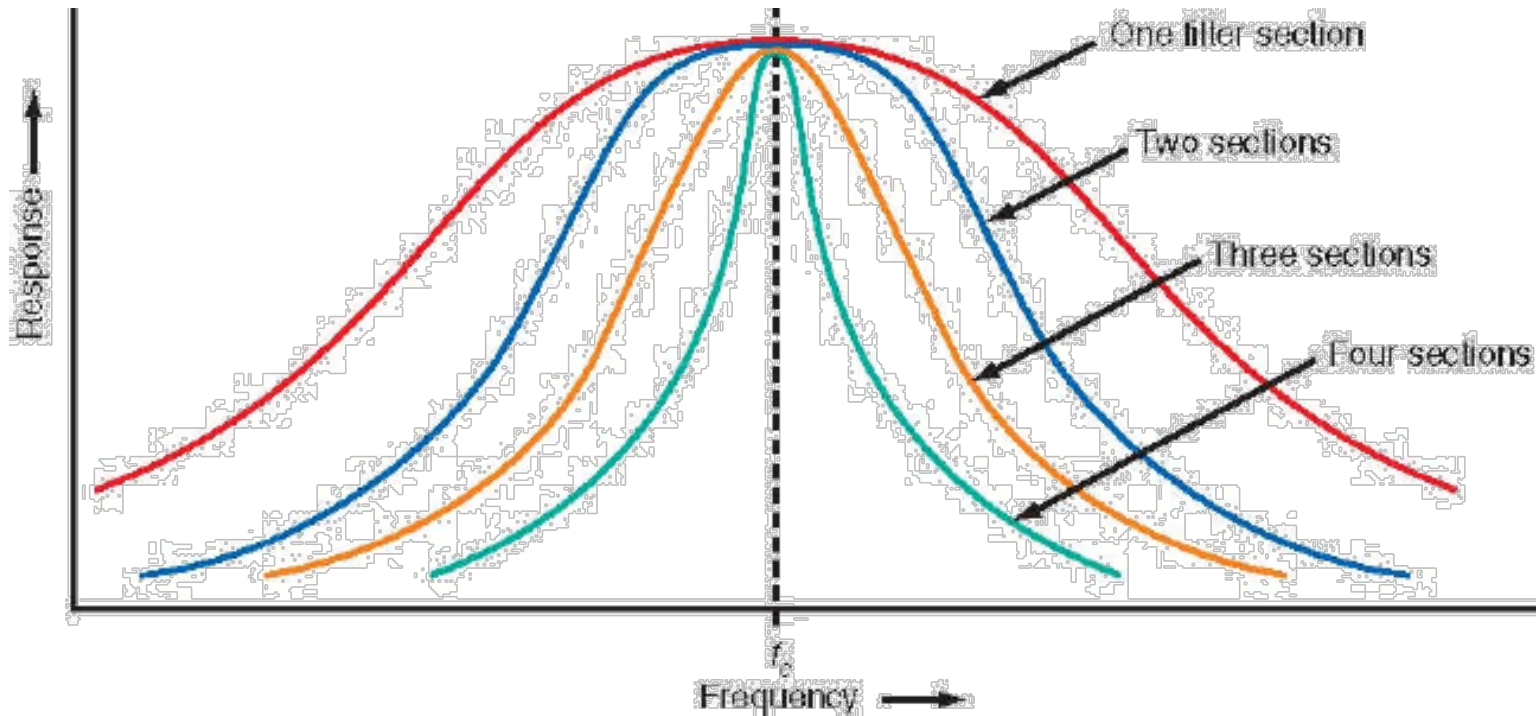
Fréquence de coupure

$$BW = \frac{f_{cH} - f_{cL}}{f_c}$$

Bande rejeté

# Filtres analogiques

- Ordre du filtre



# Filtres

- Types de filtre
  - Filtre éléments discrets
  - Filtre piézoélectrique
  - Filtre céramique
  - Filtre cavité
  - Filtre microruban...

# Filtre piézoélectrique

## Contexte

Dual Band 900 MHz / 1.8 GHz

*Hétérogénéité = challenges*

Co-Intégration ICs, passifs et RFMEMS  
Partitionnement & co-design HW/SW

Intégration de l'antenne / codesign avec

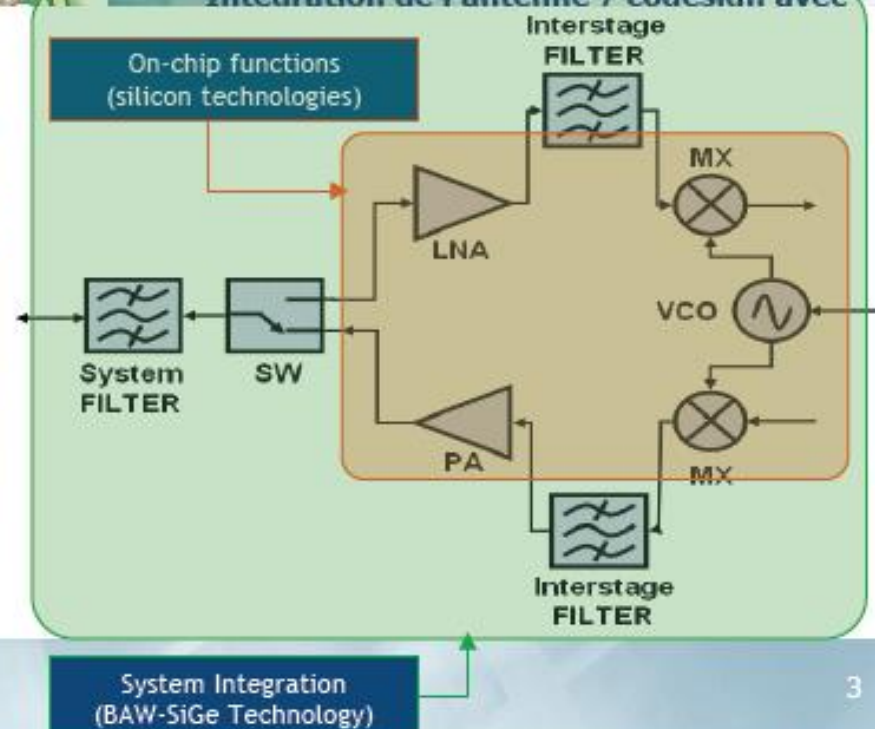


280 composants discrets passifs pour  
15 ICs.

80% des composants sont passifs !

+

WCDMA  
802.11.x: WLANs  
802.16a: WiMAX ...



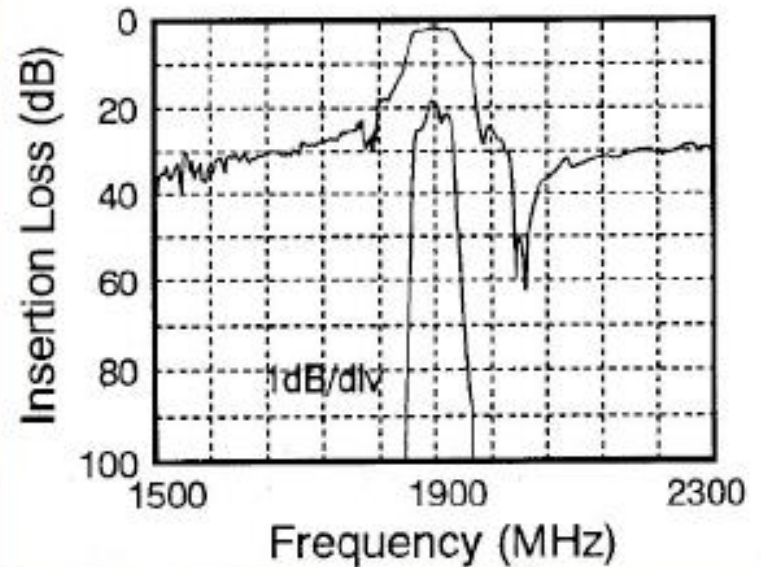
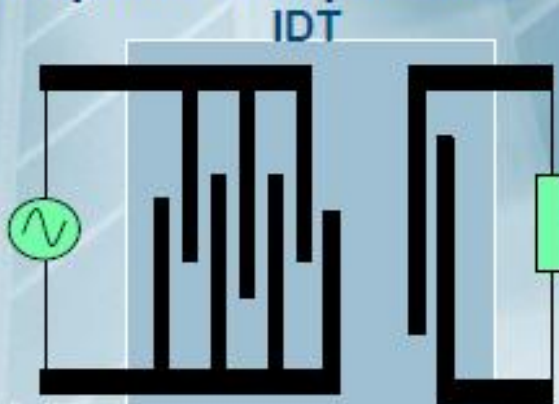


# Filtre piézoélectrique

## Technologie SAW



- onde acoustique guidée par la surface
- pertes de propagation importantes
- filtres  $\Rightarrow$  IDTs (FIR) ou résonateurs (Ladder ou Lattice)
- limité en fréquence et en puissance



$F_0$	1.9 GHz
IL	2.0 dB
BW	80 MHz
Taille	2.5x2.0x0,9 mm <sup>3</sup>

# Filtre piézoélectrique

## Technologies BAW



- l'onde acoustique est confinée dans le matériau piézoélectrique
- pertes de propagation moins importantes
- filtres  $\Rightarrow$  résonateurs couplés électriquement (Ladder, Lattice)

résonateurs couplés acoustiquement (SCF, CRF)

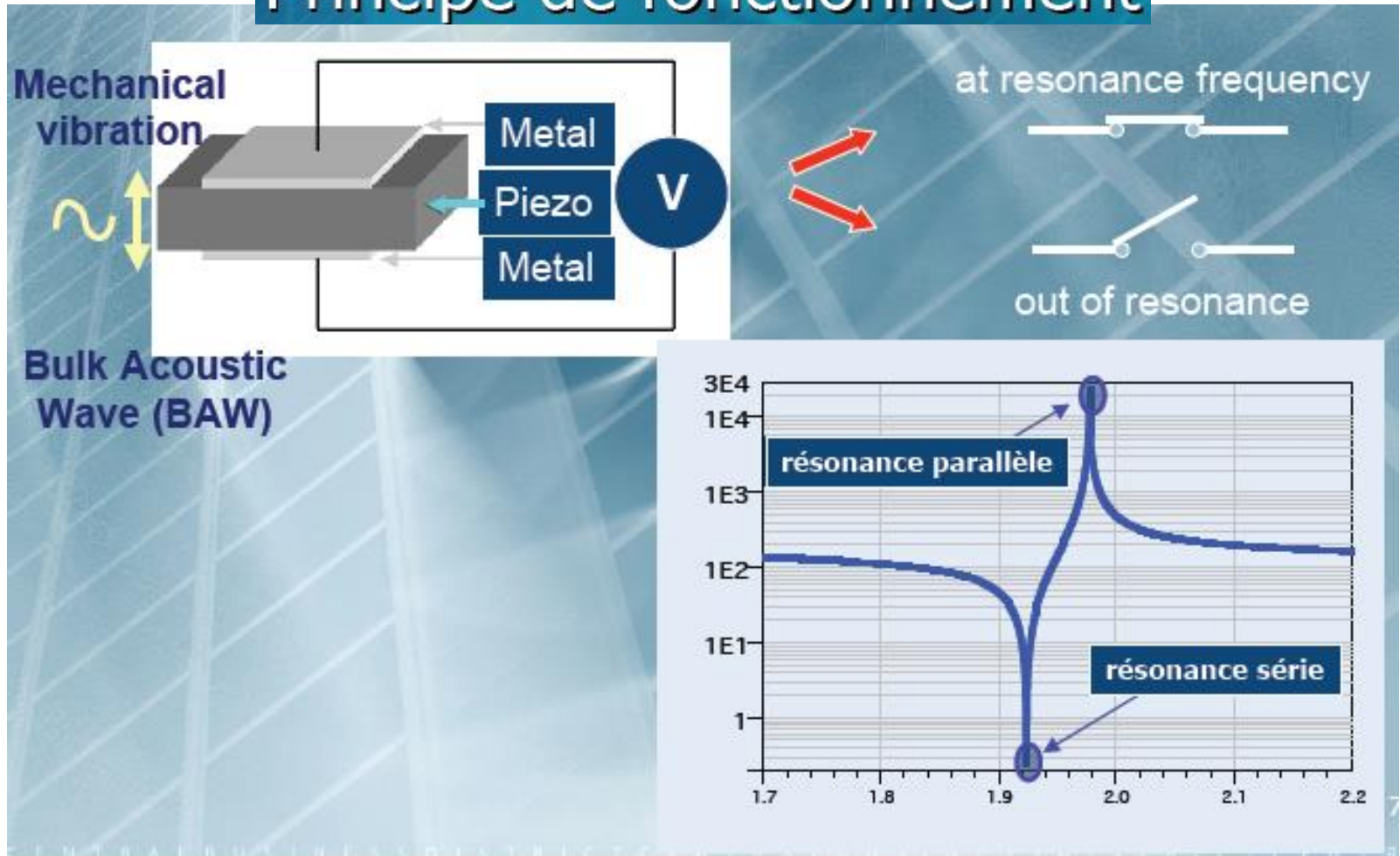
Réduction de  $10^4$  des longueurs d'ondes  $\Rightarrow$  résonateur  $100\mu\text{m}$  en bande S

Très haut coefficient de qualité : 400 pour du ZnO à 900 MHz



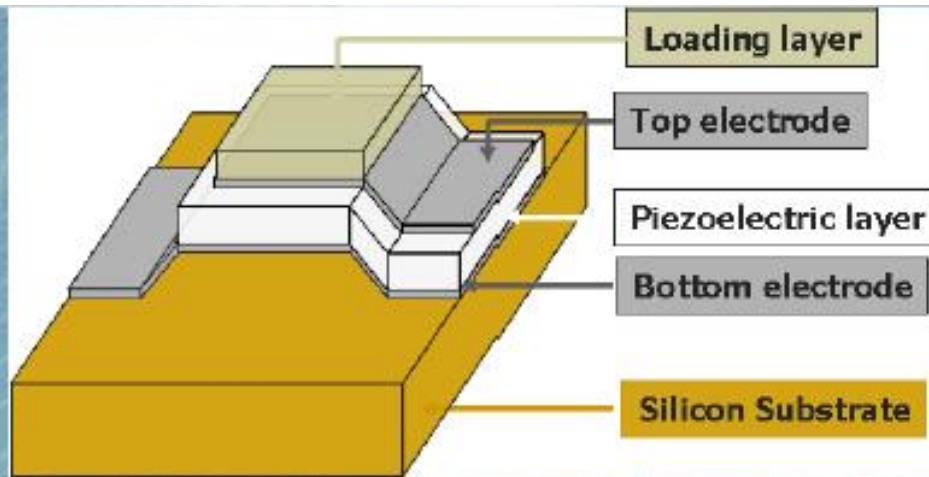
# Filtre piézoélectrique

## Principe de fonctionnement



# Filtre piézoélectrique

## FBAR (Film Bulk Acoustic Resonator)



### Avantages

- énergie confinée dans le matériau piézoélec >> pertes moins importantes;
- peu de couches
- intégration SoC

### Inconvénients

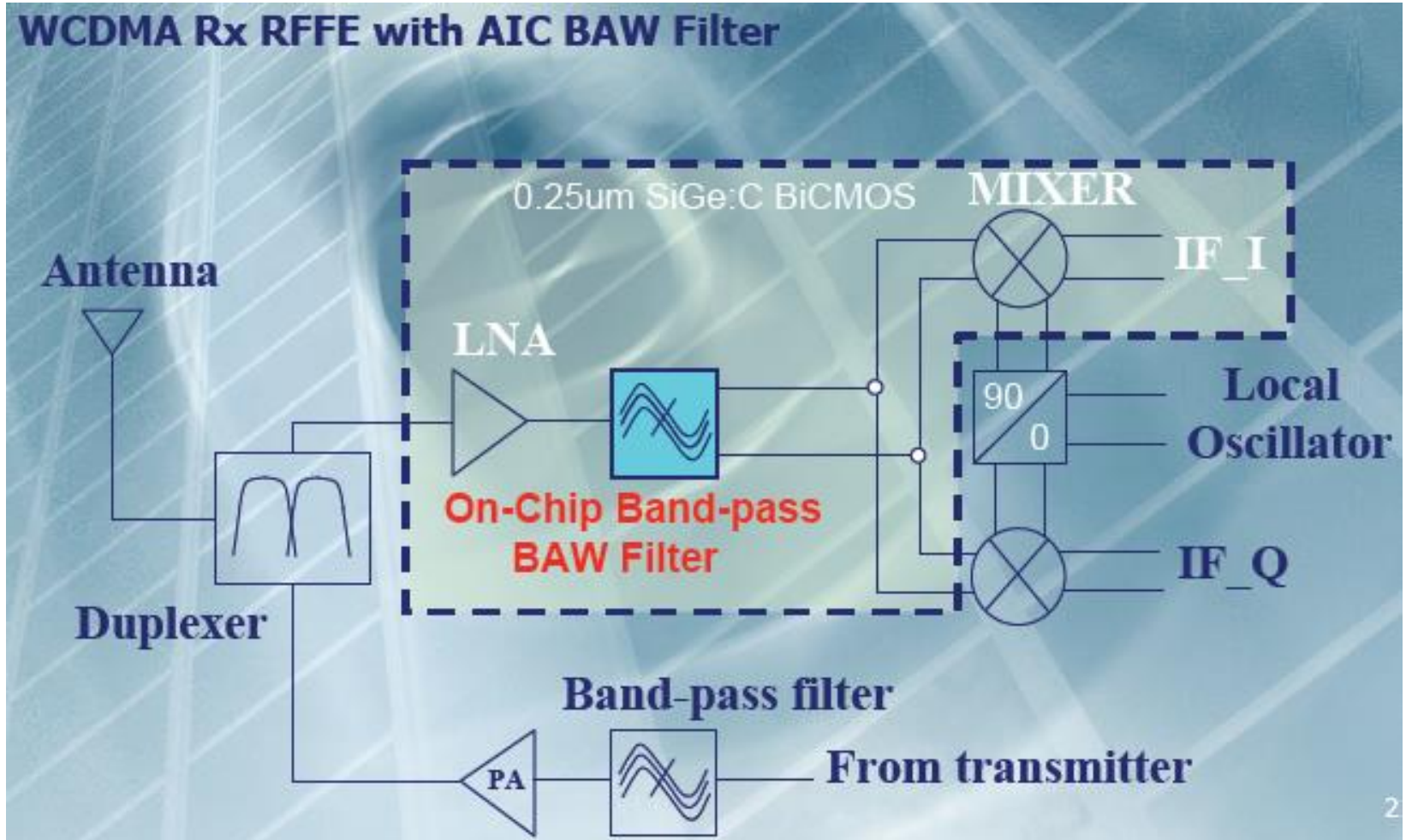
- membrane de support
- processus de fabrication
- dissipation thermique plus difficile

### Fondeurs

ST, Agilent,  
INFINEON



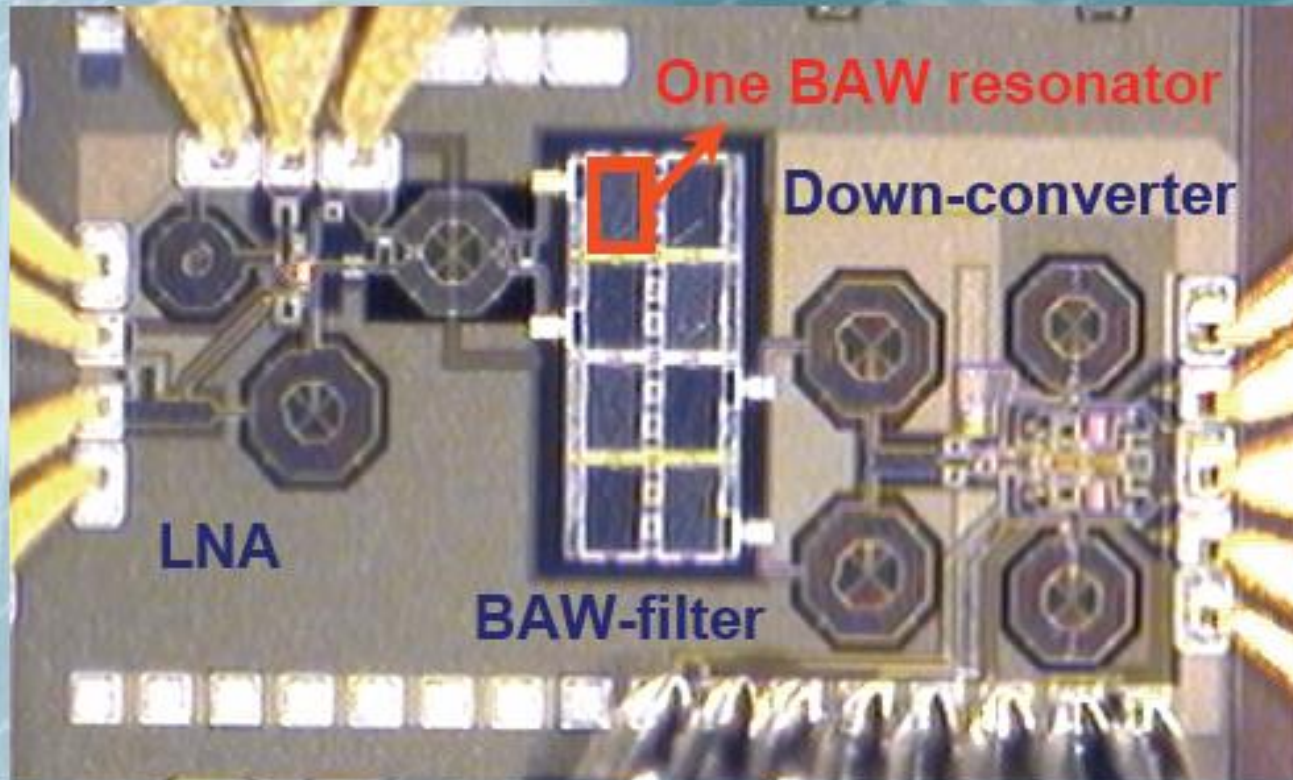
# Filtre piézoélectrique





# Filtre piézoélectrique

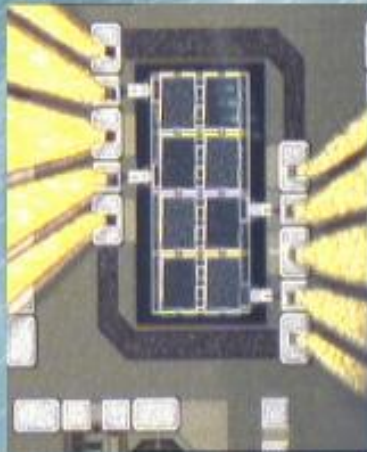
**Complete WCDMA RFFE Photograph**



Effective chip area  $2.44 \text{ mm}^2$ , including the BAW filter ( $0.45 \text{ mm}^2$ )

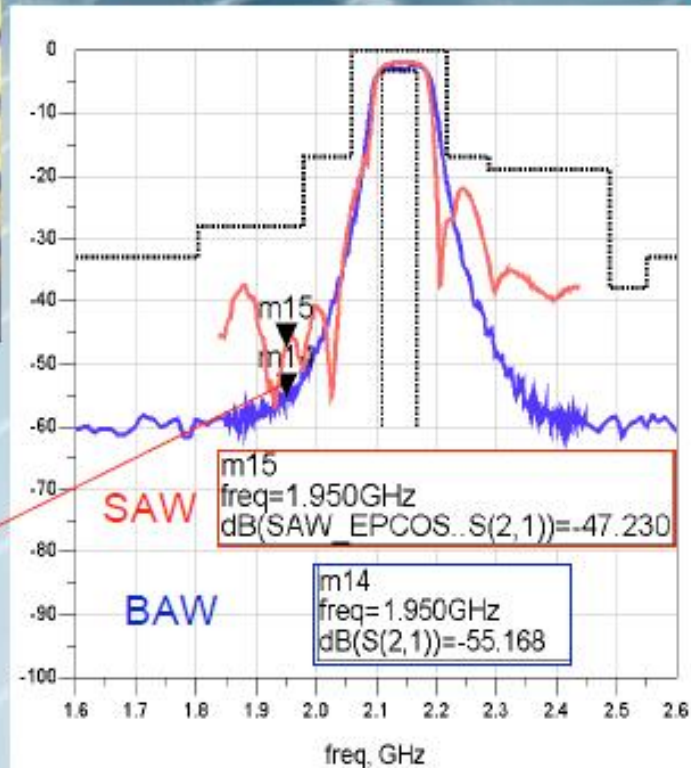
# Filtre piézoélectrique

## BAW filter characterization

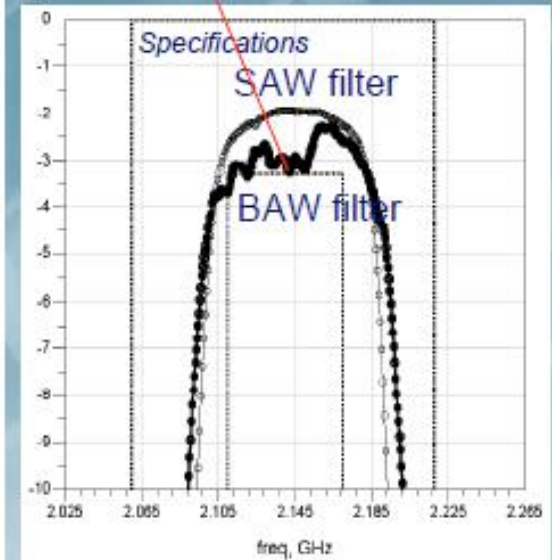


4-ports differential  
RF test structure

- 55dB



- 3.5dB

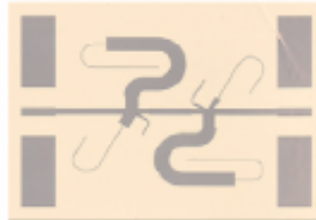
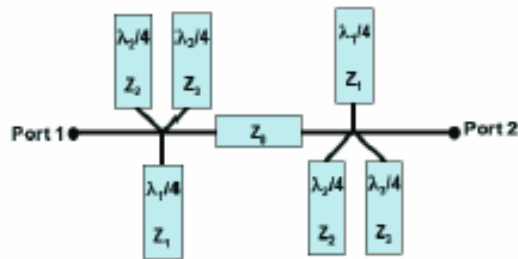


Insertion loss(dB) 22

# Filtre Multi-bande

## Illustration "filtres multibandes »

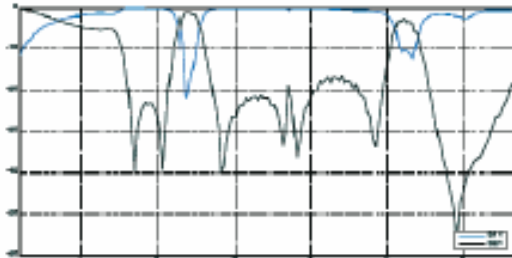
### WLAN Dual-Band BPF 2.4 / 5.2 GHz



stepped impedances resonator  
 => enhanced control of the periodic behavior  
 => achieving a center frequency ratio greater than 2.

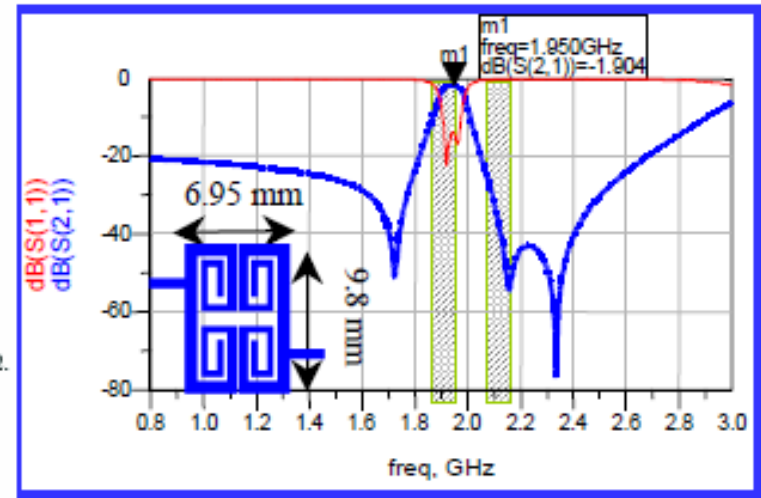
IL @ 2.4GHz = 1.25 dB  
 BW @ 2.4GHz = 80 MHz

IL @ 5.8 GHz = 1.1 / 2.4 dB  
 BW @ 5.5GHz = 600 MHz



### Filtre Multi-bandes sur LCP

## Exemple de travaux réalisés au LEST



### Filtre très sélectif

bande Rx UMTS ( $f_0$  : 1.95 GHz)

Taille : 7 \* 9.8 mm

Pertes : 2 dB

Bande passante à -10 dB : 3 %

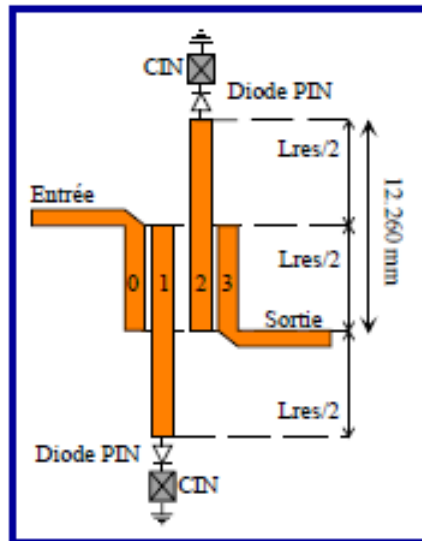
Réjection : >40 dB de 2.1 à 2.4 GHz

# Filtre Accordable

Variation Fréquence centrale

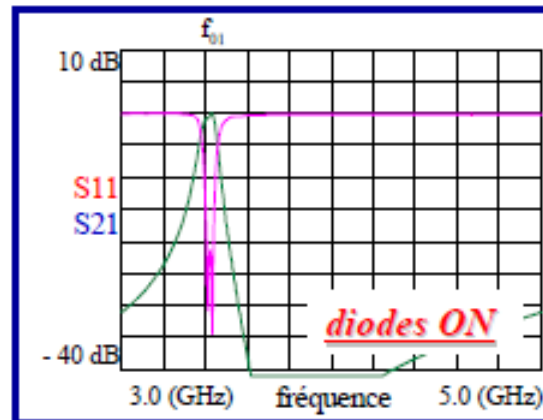
Agilité à base de diodes + MMIC ( $R < 0$ )

Topologie du filtre



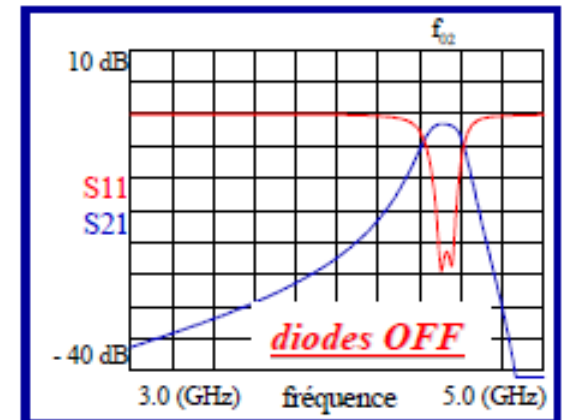
(Travaux LEST – XLIM)

Simulations



Fréquence basse

$$f_{01} = 3.42 \text{ GHz}$$



Fréquence haute

$$f_{02} = 4.53 \text{ GHz}$$



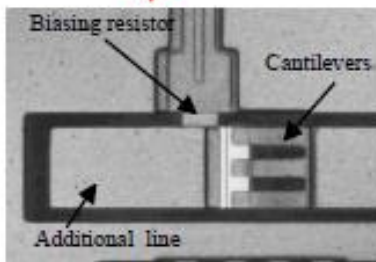
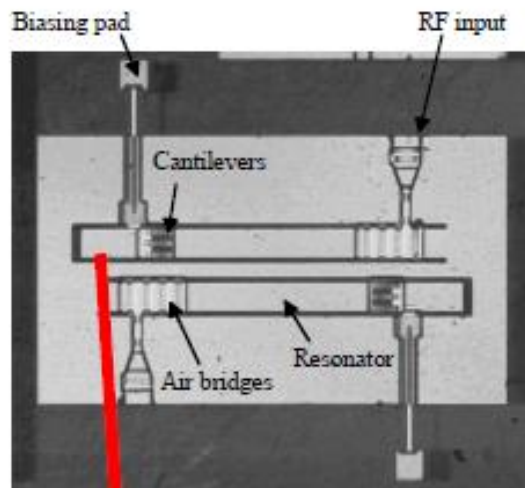
$$\Delta f = 1.11 \text{ GHz}$$



# Filtre Accordable

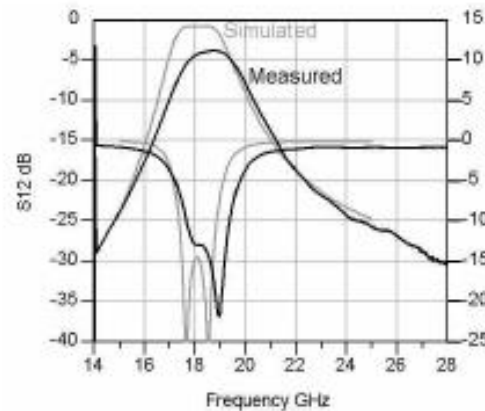
Variation Fréquence centrale

Agilité à base de MEMS

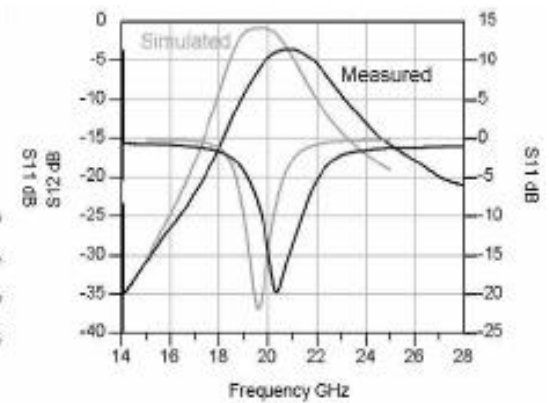


## Mesures

*Etat bas*



*Etat Haut*



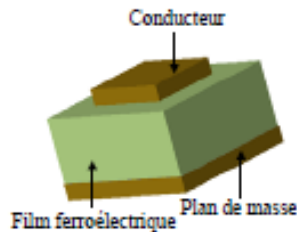


# Filtre Accordable

## Variation Fréquence centrale

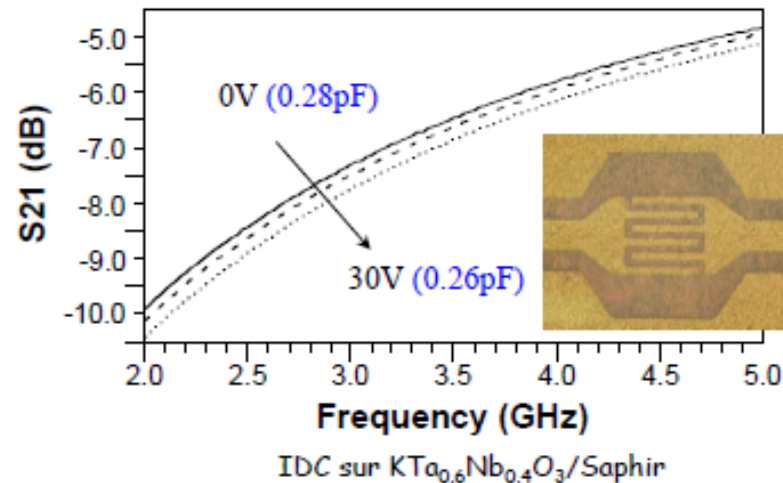
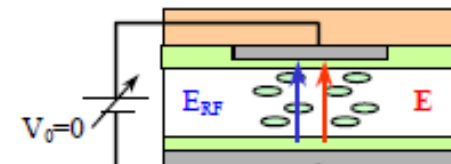
## Agilité à base de Matériaux

### - Ferroélectriques -

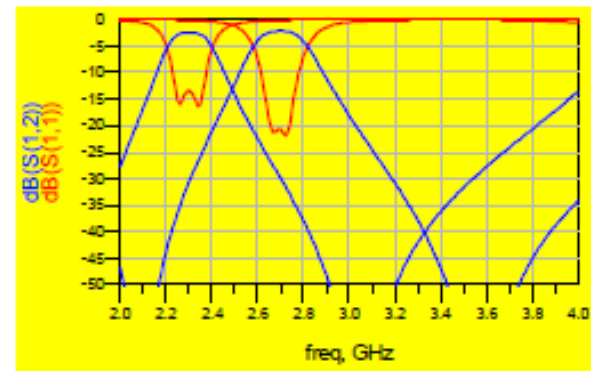


$$\epsilon_r = f(\vec{E})$$

### - Cristaux liquides -



### Exemple de réponse - Filtre DBR

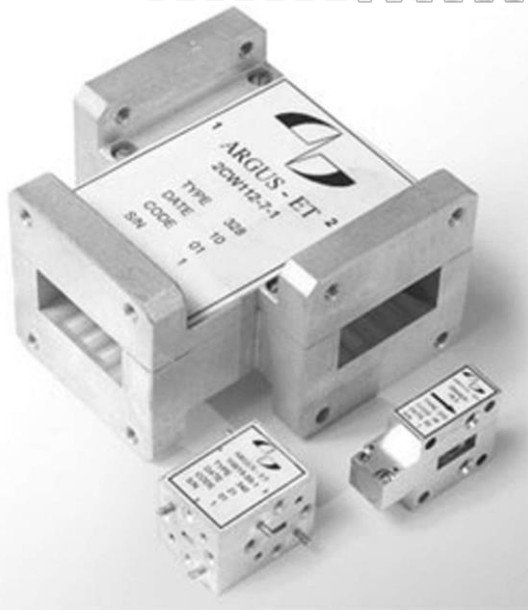
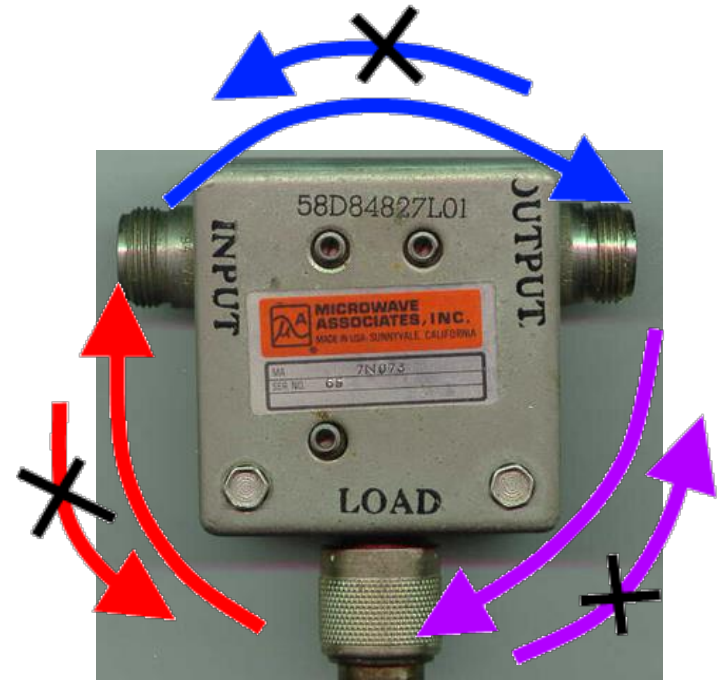
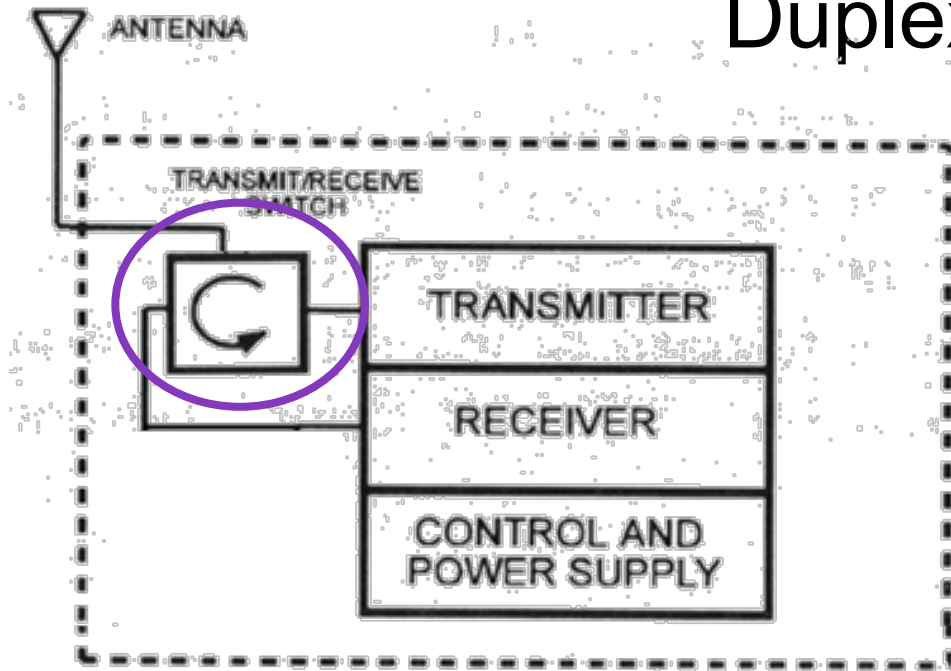


### Changement d'anisotropie de CL

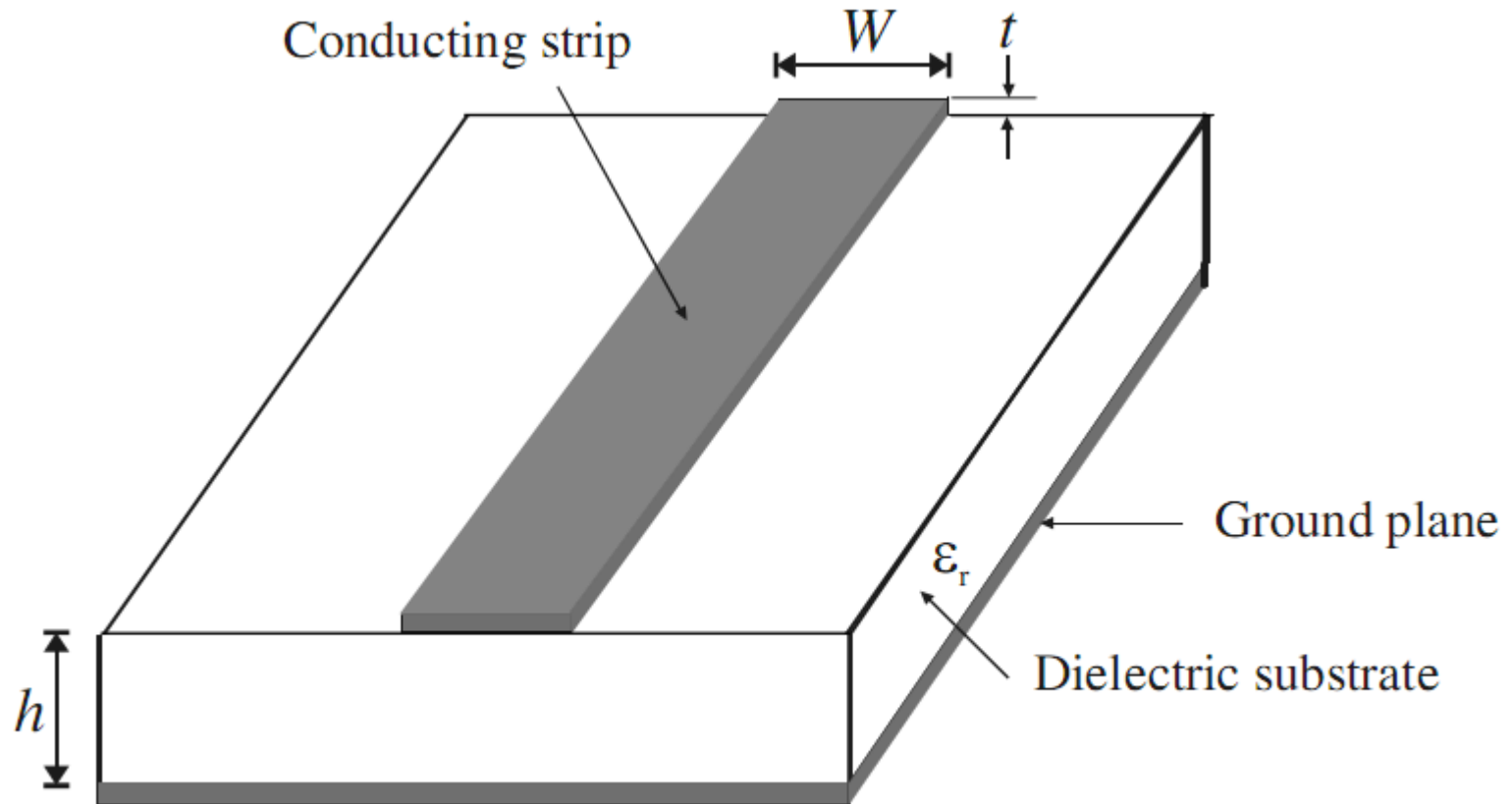
# Duplexer

- A duplexer is the network that permits a transmitter and receiver to use the same antenna, at or very near the same frequency.
  - Low loss between transmitter and antenna in transmit (less than 1 dB is desirable)
  - High isolation from transmitter to receive in transmit (as much as 80 dB for megawatt systems)
  - Low loss between antenna and receiver in receive (less than 1 dB is desirable)
  - Fast switching between the transmit and receive state, sometimes "automatically switched by the transmit signal, sometimes by command signal.

# Duplexer

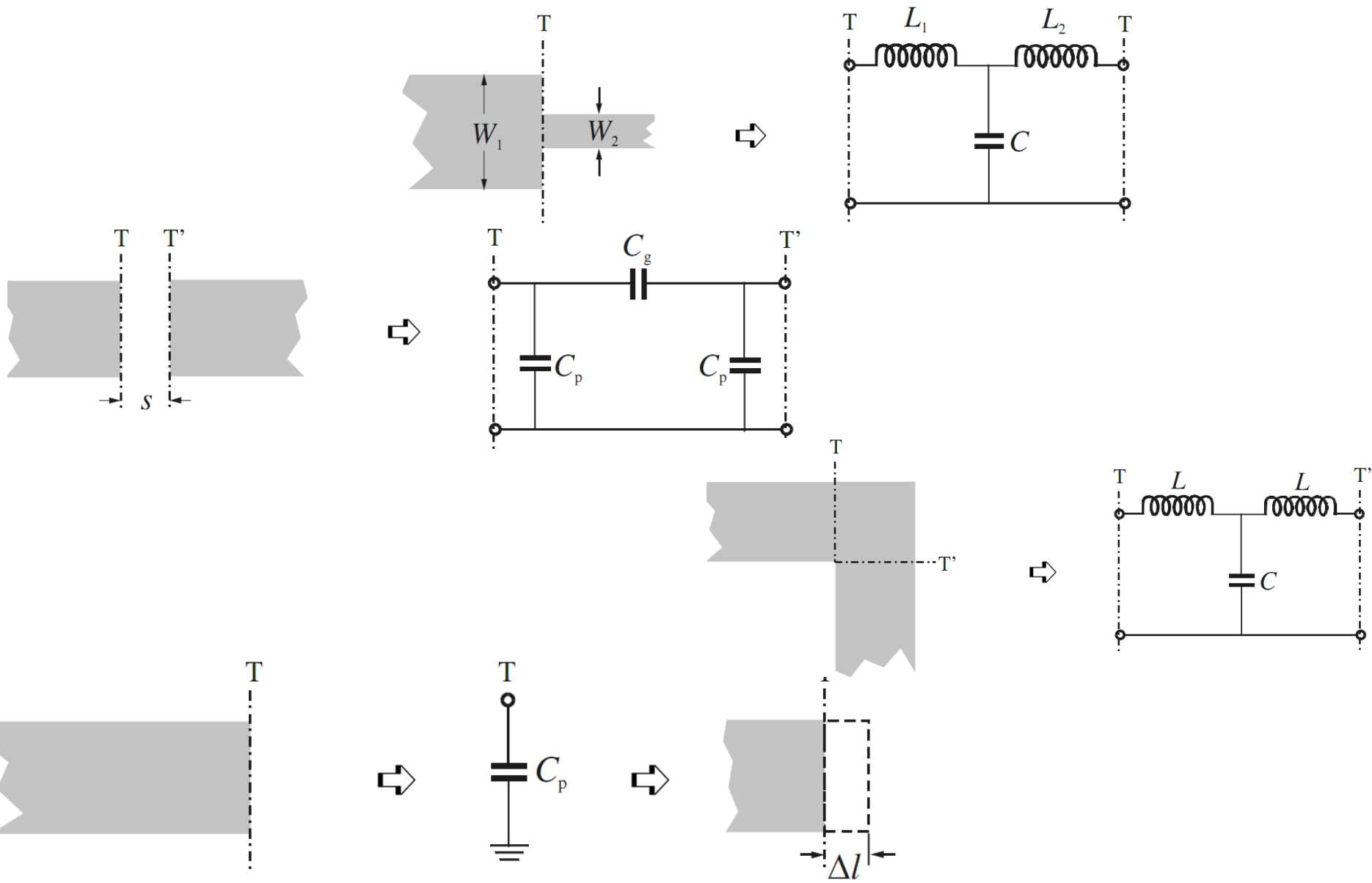


# Microruban

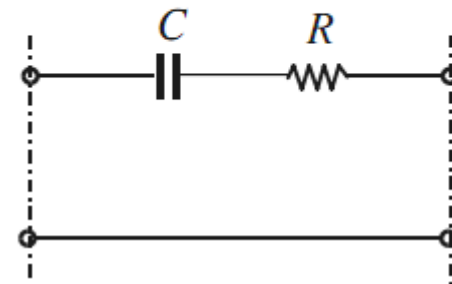
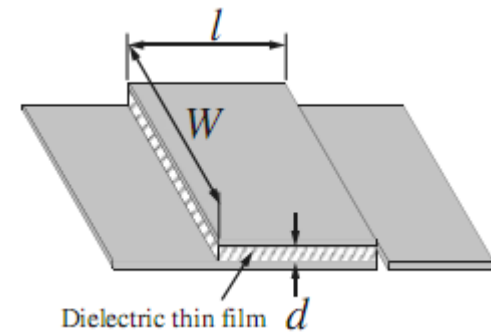
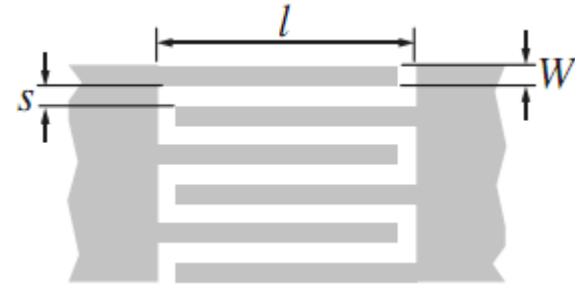
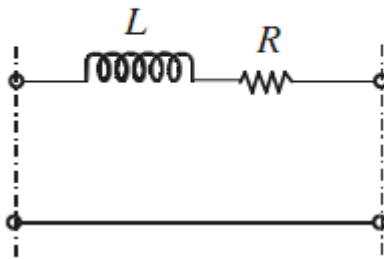
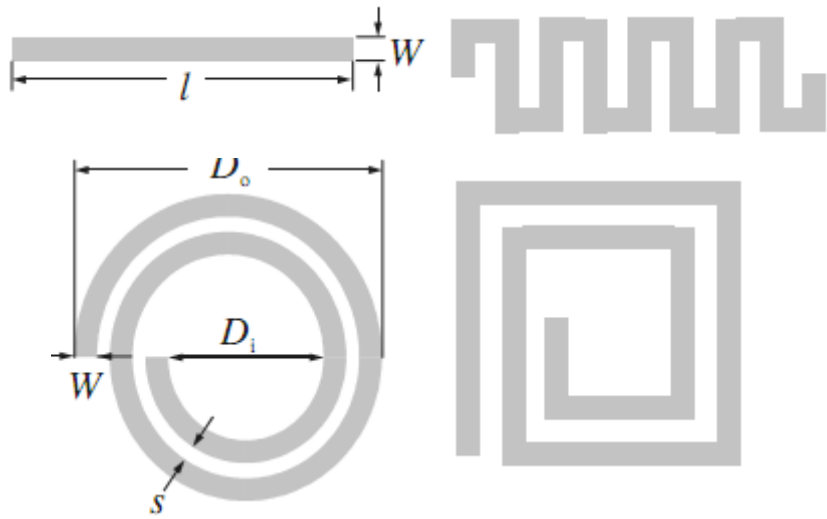


**FIGURE 4.1** General microstrip structure.

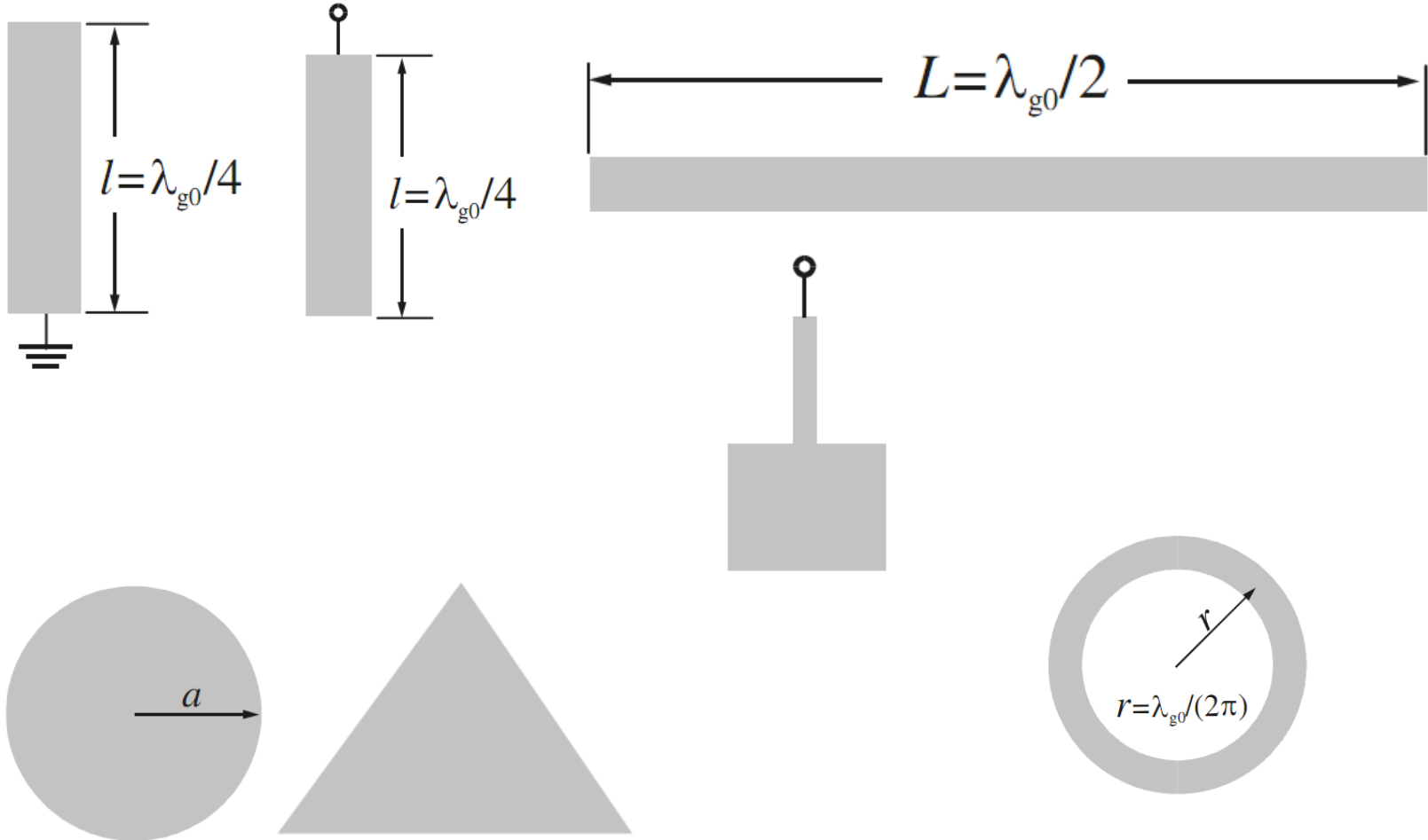
# Microruban



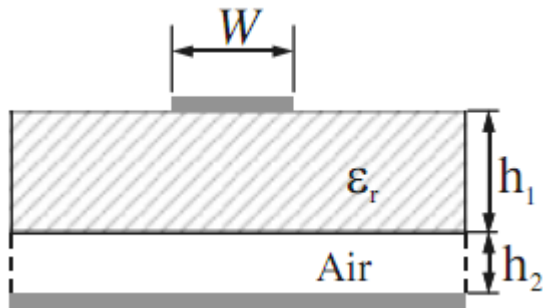
# Microruban



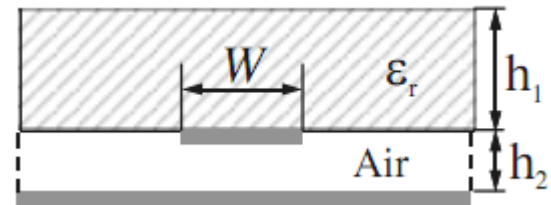
# Résonateur Microruban



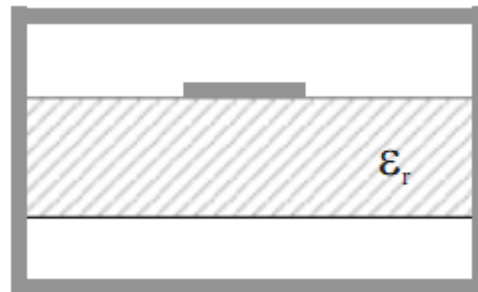
# Substrat Microruban



suspended microstrip line



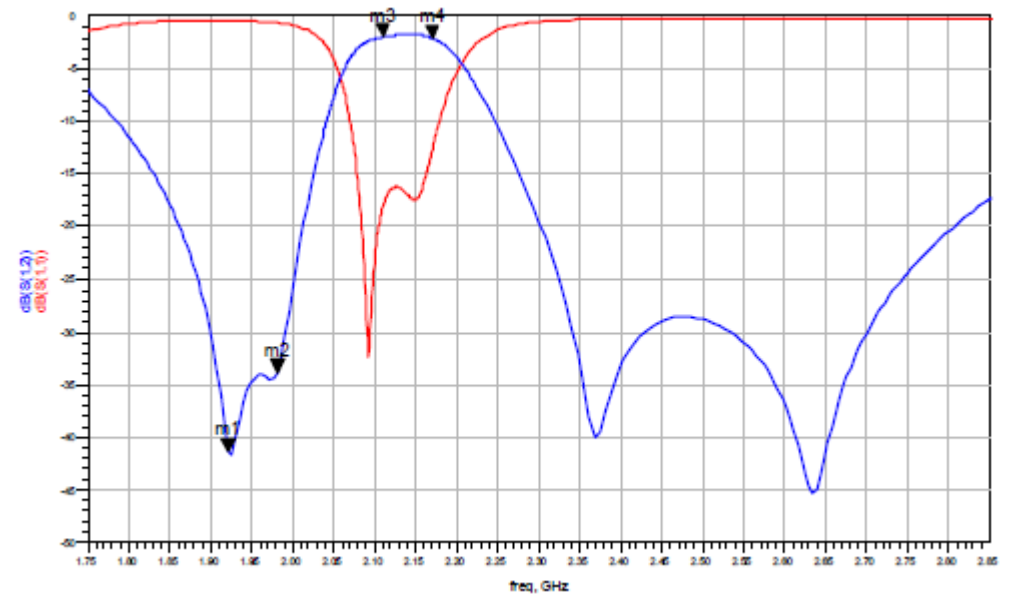
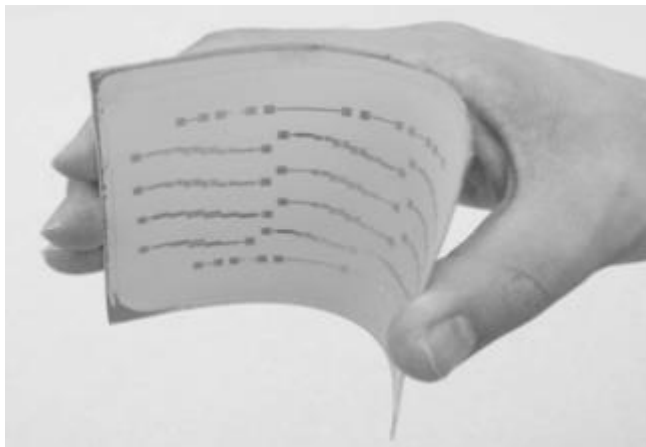
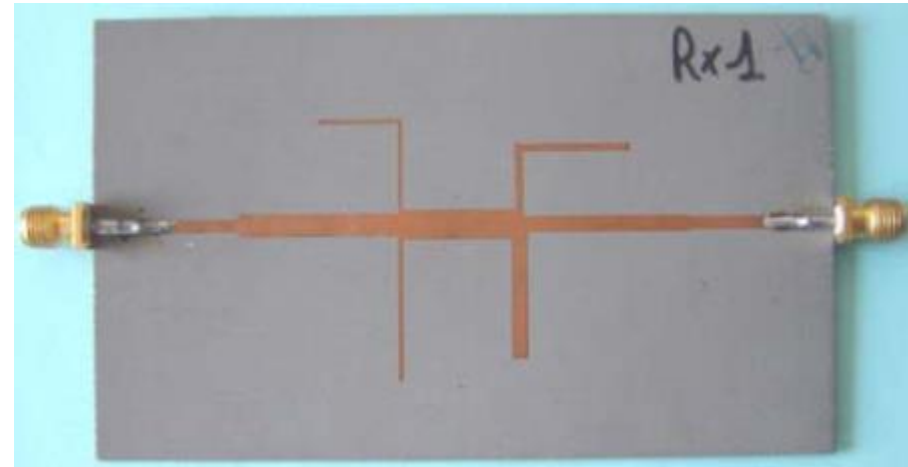
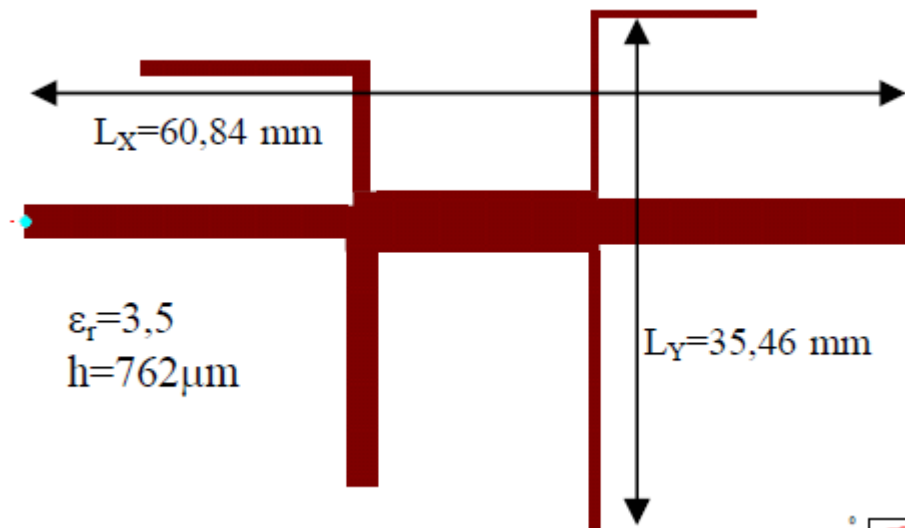
inverted microstrip line



suspended or inverted microstrip line, enclosed



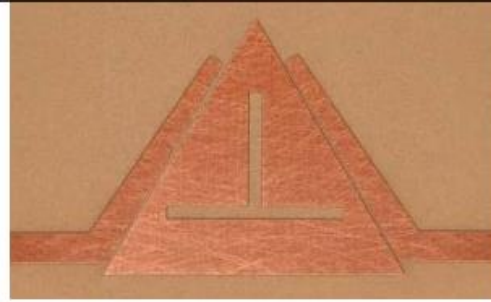
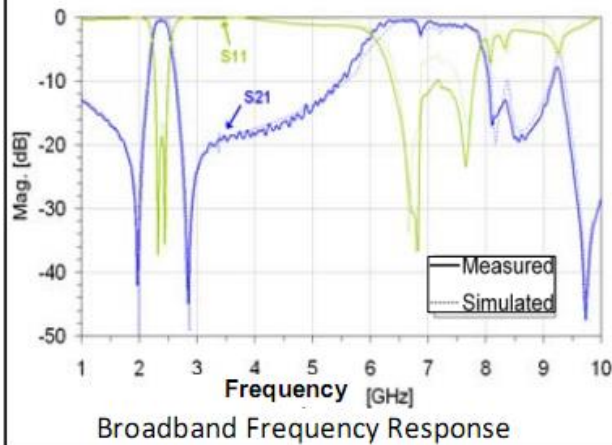
# Filtre Microruban



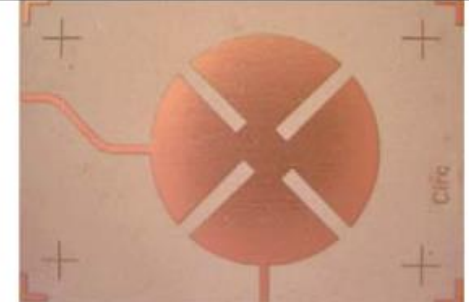
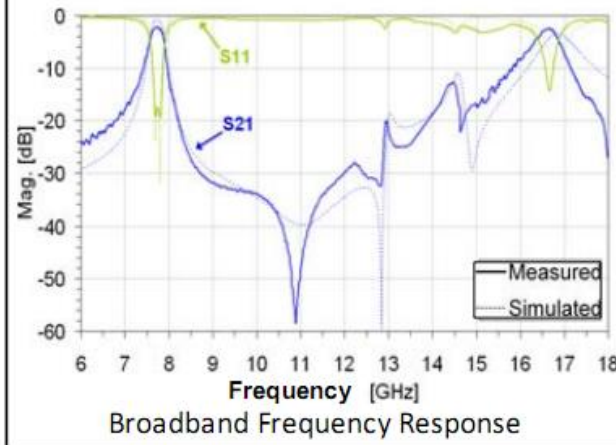
# Filtre Patch



2-pole square bandpass patch filter



2-pole triangular bandpass patch filter



3-pole circular bandpass patch filter

